## 11. PET, SPECT

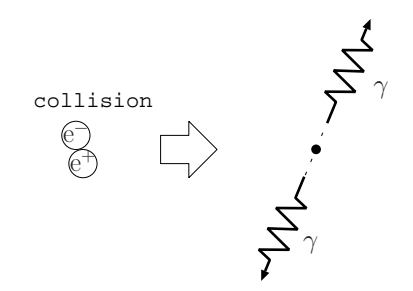
PET と SPECT は,生体機能を観察するための, $\gamma$  線源の分布を測定する装置である。

(例) 血管に $\gamma$ 線を放出する薬剤を投与 $\rightarrow$ 血流の観察

- PET: Positron Emission Tomography 薬剤は陽電子ソース。
   γ線は,電子対消滅反応により発生。
- SPECT : Single Photon Emission Computed Tomography 薬剤は  $\gamma$ -ray ソース.

## 11.1 PET(Positron Emission Tomography)

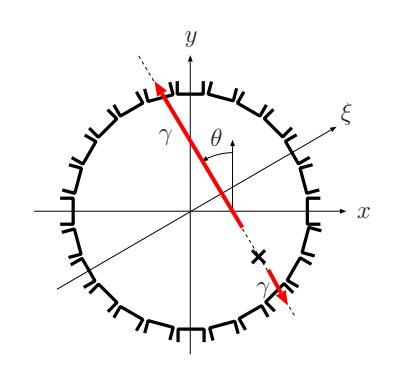
#### 電子対消滅



$$e^- + e^+ \to 2\gamma(511 \text{keV}), \quad m_e c^2 = 511 \text{keV}$$

電子と陽電子が衝突すると,2 つの 511 keV の  $\gamma$  線が,同一直線上の逆方向に放出される。 直線の方向はランダム

## 投影データ

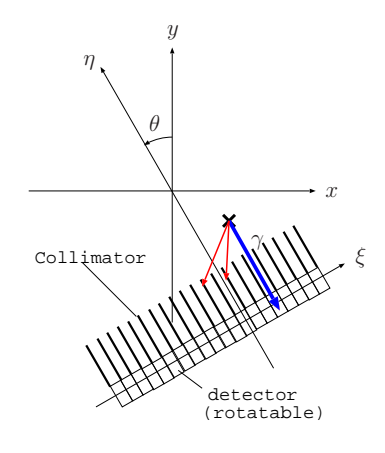


- 対生成が発生すると、対生成を起こした点を通る直線上の二つのセンサが $\gamma$ 線を検出
- この直線の方向は CT の投影角度 (θ) に相当
- この直線の原点からの距離が CT のセンサ位置 (ξ) に相当
- 他のイベントを積算により,強度分布  $p(\xi,\theta)$  が得られる

投影データ  $p(\xi, heta)$  から内部分布 f(x,y) の再構成手順は CT と同じ

PET, SPECT SPCET

## 11.2 SPCET(Single Photon Emission Computed Tomography)



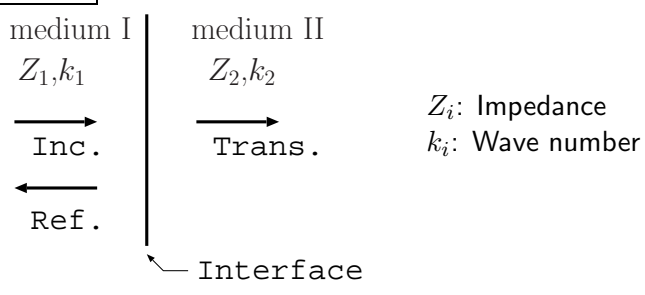
- アレイ検出器が $\theta$ と垂直に置かれている時,位置 $\xi$ の検出器が検出できる $\gamma$ 線は,角度 $\theta$ 方向から到来したもののみが検出される。他はコリメータにより遮蔽され,検出器に届かないため
- このイベントを積算したものが投影 データ p(ξ, θ) に相当

投影データ  $p(\xi, \theta)$  から内部分布 f(x,y) の再構成手順は CT と同じ

超音波エコー エコーの原理

# 12. **超音波エコー** 12.1 **エコーの**原理

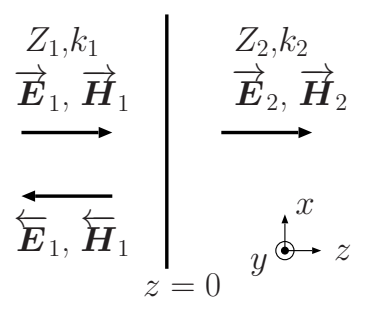
#### 境界での反射



インピーダンスの異なる媒質の界面では反射が発生

(次ページ以降で証明)

## 電磁波の反射モデル



(変数の上の矢印は進行方向を表す)

#### ポインティングベクトル:

$$\overrightarrow{s_i} = \overrightarrow{E_i} \times \overrightarrow{H_i} = \overrightarrow{s_i} e_z \qquad (1)$$

$$\overleftarrow{s_i} = \overleftarrow{E_i} \times \overleftarrow{H_i} = \overleftarrow{s_i} (-e_z) \qquad (2)$$

$$\overleftarrow{s_i} = \overleftarrow{E_i} \times \overleftarrow{H_i} = \overleftarrow{s_i}(-e_z)$$
 (2)

#### 電磁界の定義:

((1),(2) 式を満たすための定義)

$$\begin{cases}
\overrightarrow{E}_{i} = +\overrightarrow{E}_{i}e^{-jk_{i}z}\mathbf{e}_{x} \\
\overrightarrow{H}_{i} = +\overrightarrow{H}_{i}e^{-jk_{i}z}\mathbf{e}_{y} \\
\overleftarrow{E}_{i} = +\overleftarrow{E}_{i}e^{+jk_{i}z}\mathbf{e}_{x} \\
\overleftarrow{H}_{i} = -\overleftarrow{H}_{i}e^{+jk_{i}z}\mathbf{e}_{y}
\end{cases} (3)$$

インピーダンス:

$$Z_i = \overrightarrow{\overline{H_i}} = \overleftarrow{\overline{H_i}}$$
 (4)

• 各媒質中での場

$$\begin{cases} \boldsymbol{E}_{1} = \overrightarrow{\boldsymbol{E}}_{1}^{1} + \overleftarrow{\boldsymbol{E}}_{1}, & \boldsymbol{E}_{2} = \overrightarrow{\boldsymbol{E}}_{2}^{2}, \\ \boldsymbol{H}_{1} = \overrightarrow{\boldsymbol{H}}_{1}^{1} + \overleftarrow{\boldsymbol{H}}_{1}, & \boldsymbol{H}_{2} = \overrightarrow{\boldsymbol{H}}_{2}^{2} \end{cases}$$
(5)

境界条件:

(接線方向の連続性)

At 
$$z = 0$$

$$\begin{cases}
\mathbf{E}_1 \cdot \mathbf{e}_x = \mathbf{E}_2 \cdot \mathbf{e}_x \\
\mathbf{H}_1 \cdot \mathbf{e}_y = \mathbf{H}_2 \cdot \mathbf{e}_y
\end{cases}$$
(6)

$$\Leftrightarrow \left\{ \begin{array}{l} \overrightarrow{E_1} + \overleftarrow{E_1} = \overrightarrow{E_2} \\ \overrightarrow{H_1} - \overleftarrow{H_1} = \overrightarrow{H_2} \end{array} \right. \tag{7}$$

#### (4),(7) 式より

● 反射波

$$\overleftarrow{E_1} = \underbrace{\frac{Z_2 - Z_1}{Z_2 + Z_1}}_{=R} \overrightarrow{E_1}$$
 (8)

透過波

$$\overrightarrow{E_2} = \frac{2Z_2}{Z_2 + Z_1} \overrightarrow{E_1} \qquad (9)$$

$$Z_2 
eq Z_1$$
 の場合: $R = rac{Z_2 - Z_1}{Z_2 + Z_1} 
eq 0.$ 

⇒ 界面にて反射

# 12.2 **インピーダン**ス

電磁波	$Z = \frac{E \text{ [V/m]}}{H \text{ [A/m]}}$	
電気回路	$Z = rac{V \; [{ m V}]}{I \; [{ m A}]} = rac{{ m Electric \; potential}}{{ m Electric \; current \; (\propto \; velocity)}}$	
流体	$Z = \frac{p}{v} = \frac{\text{Acoustic pressure (potential)}}{\text{Acoustic velocity}}$	

流体のインピーダンスは音速に依存

# 音速と周波数

#### ● 音速

媒質	音速 [m/s]
空気	344
水	≃1,500
脂肪	$\simeq$ 1,450
臓器, 筋肉	$\simeq$ 1,550

• 周波数 (at v = 1,500 の場合)

$$f = v/\lambda$$
  
 $\lambda$  0.5 mm  $\sim$  0.1 mm  
 $f$  3 MHz  $\sim$  15 MHz  
 $\rightarrow$  超音波

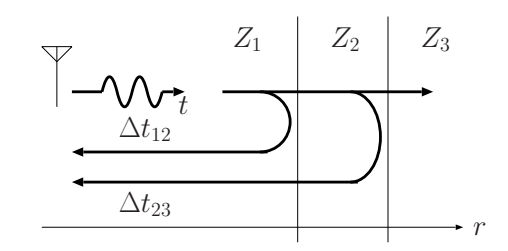
超音波エコー

測定系

## 12.3 測定系

#### レーダと同様に、 極座標系 (距離と方向) で測定

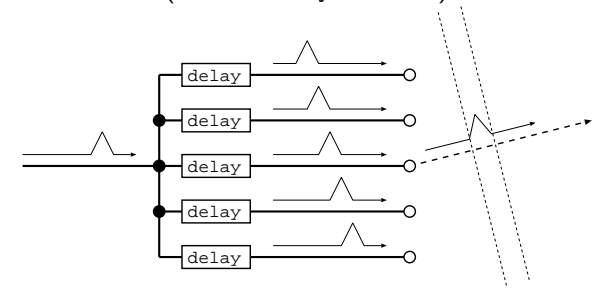
距離計測



- パルス変調した音波を送信
- ② 反射波 (時間遅れ) の計測
- ◎ Z(r) の算出

### 方向の走査

アレイアンテナ (Phased array antenna) により放射方向を制御:



遅延時間を変えれば,方向だけでなく,非平 面波の生成も可能

